

図6. 学内成績と学説試験の関係

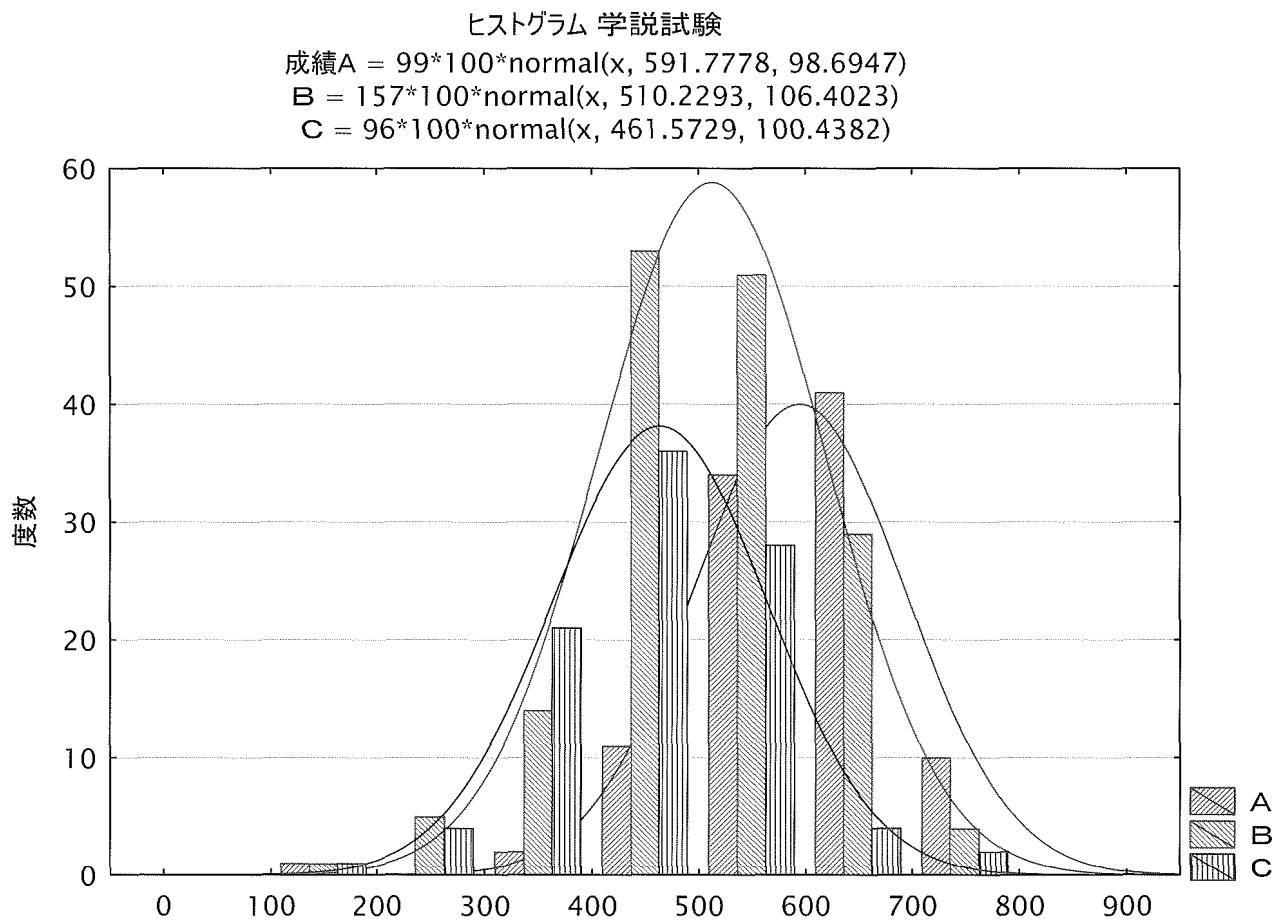
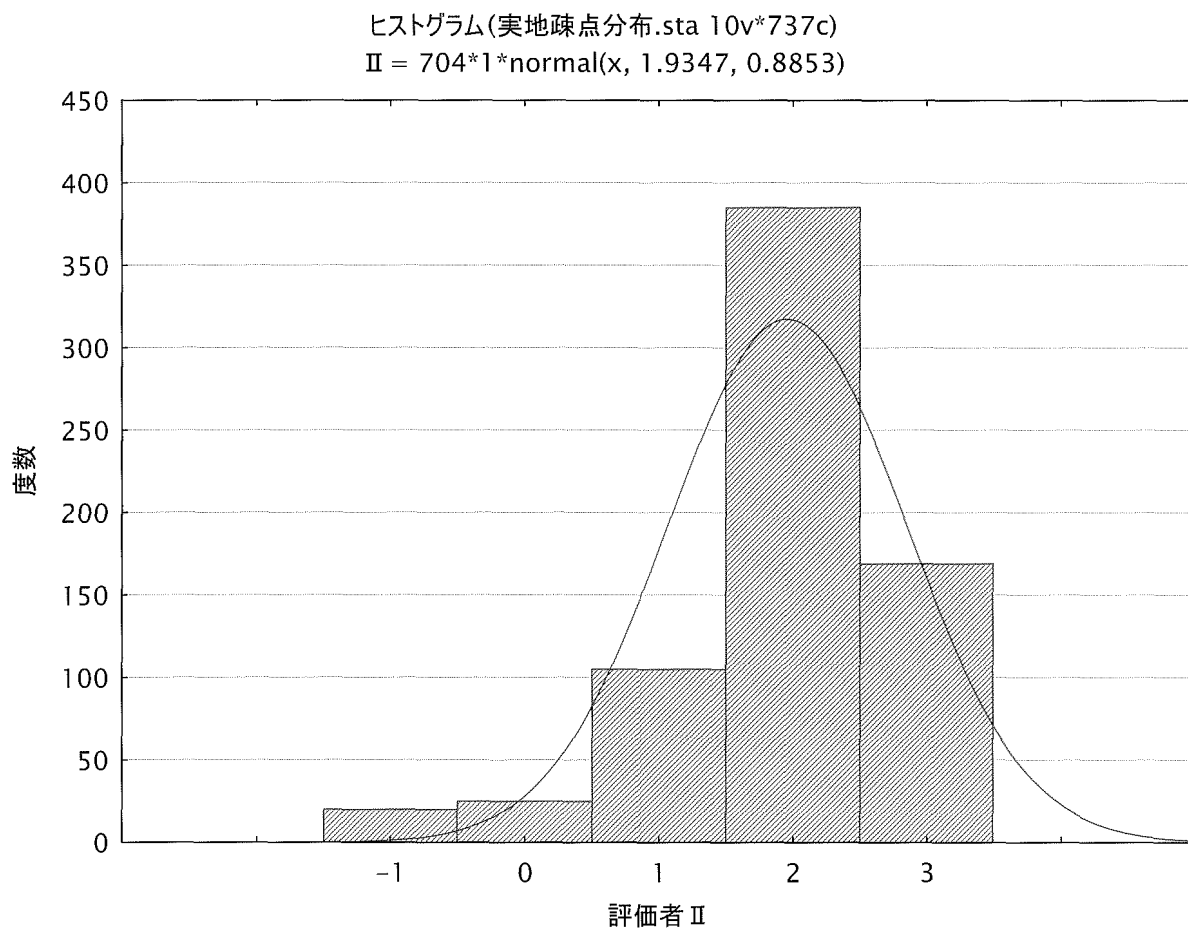
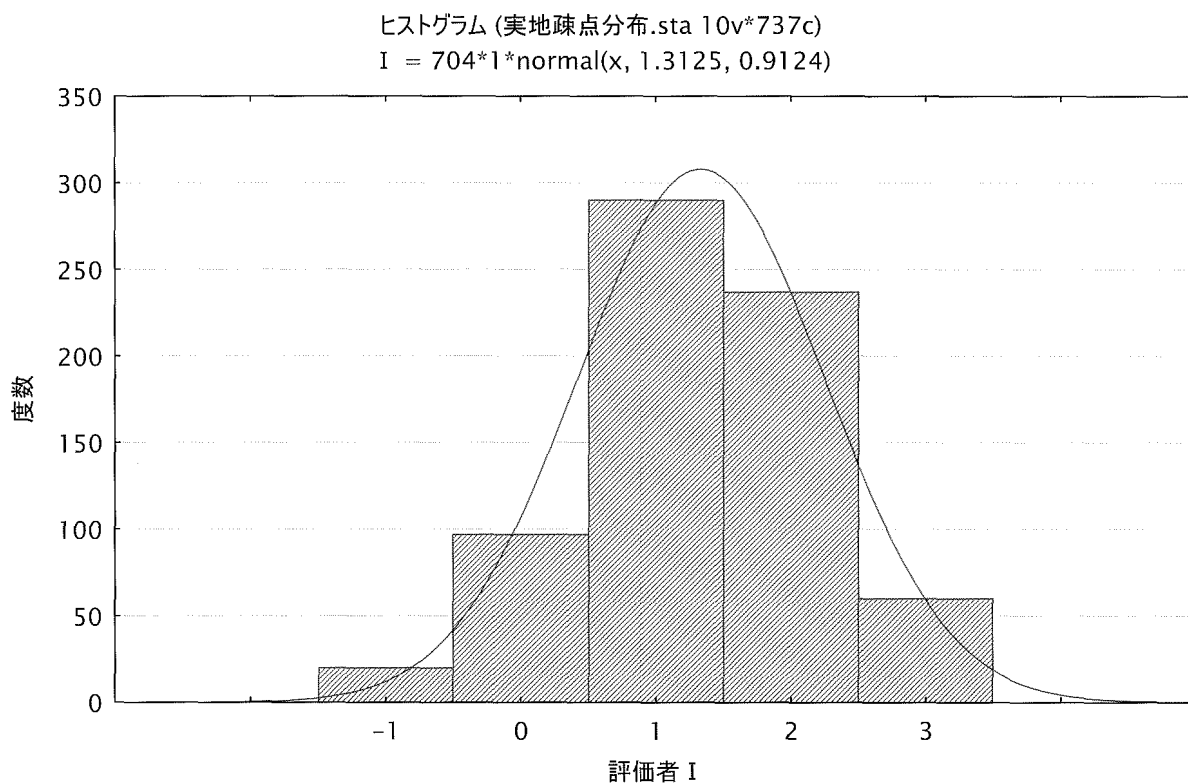
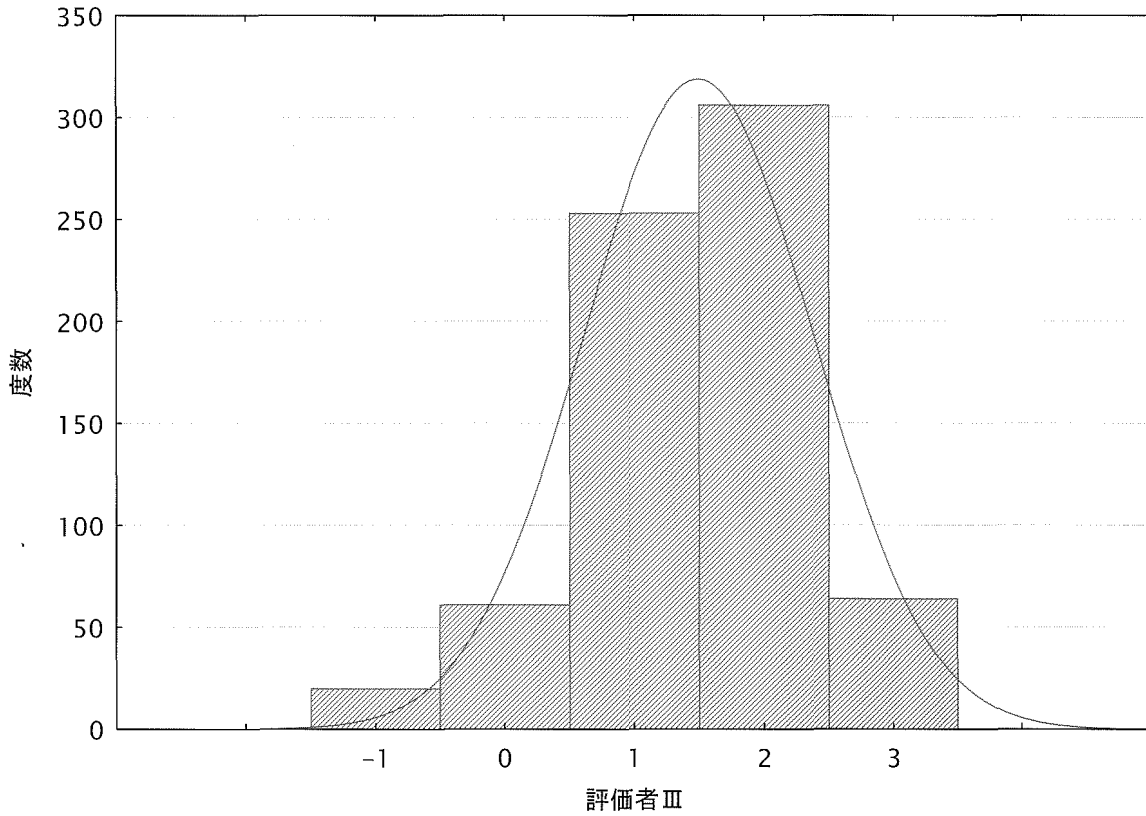


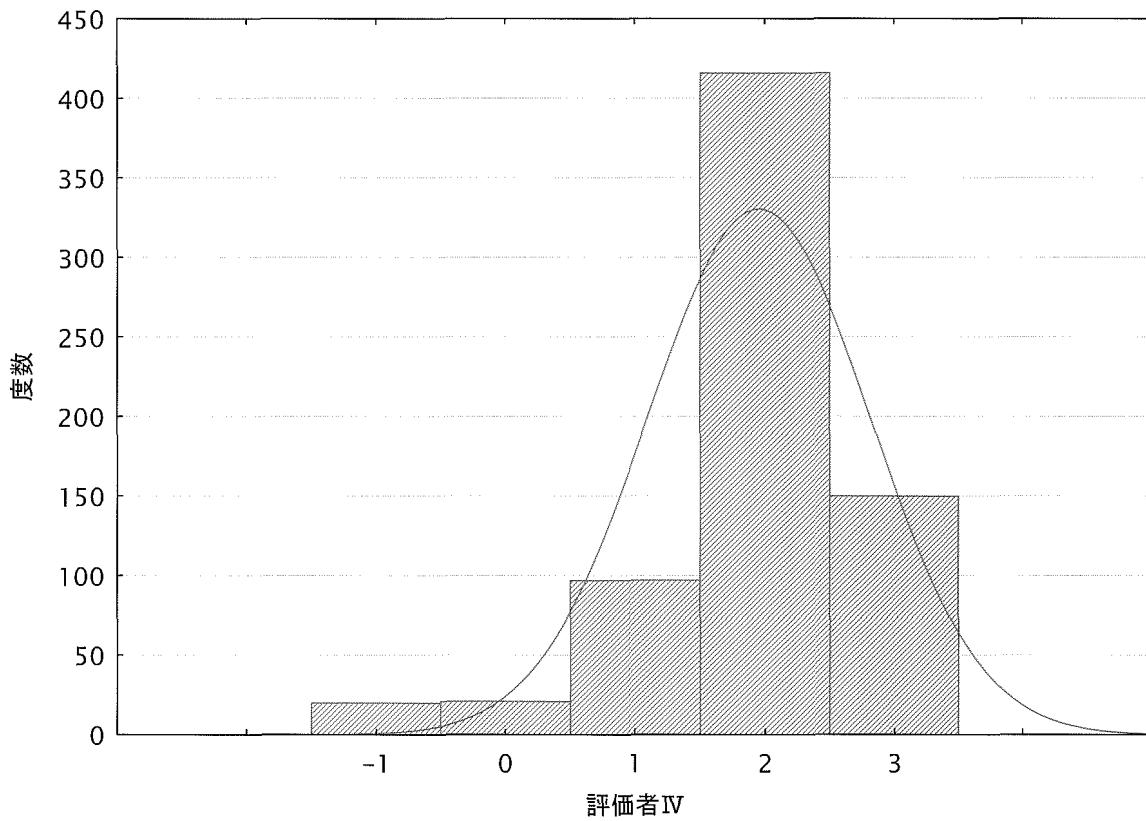
図7. 評価者6名の素点分布（全部鑄造冠蟻形成+人工歯排列・歯肉形成）



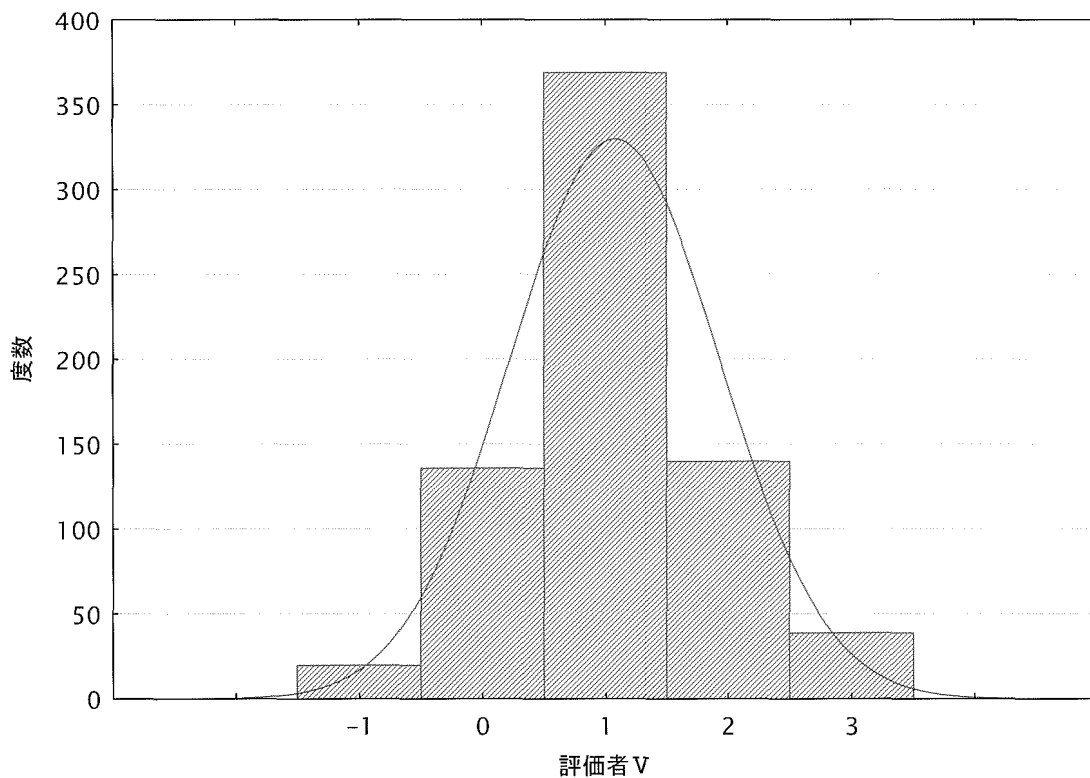
ヒストグラム (実地疎点分布.sta 10v*737c)
 $\text{III} = 704 * 1 * \text{normal}(x, 1.473, 0.8809)$



ヒストグラム (実地疎点分布.sta 10v*737c)
 $\text{IV} = 704 * 1 * \text{normal}(x, 1.9304, 0.8497)$



ヒストグラム (実地疎点分布.sta 10v*737c)
 $V = 704 * 1 * \text{normal}(x, 1.0597, 0.8513)$



ヒストグラム (実地疎点分布.sta 10v*737c)
 $VI = 704 * 1 * \text{normal}(x, 1.6776, 0.8566)$

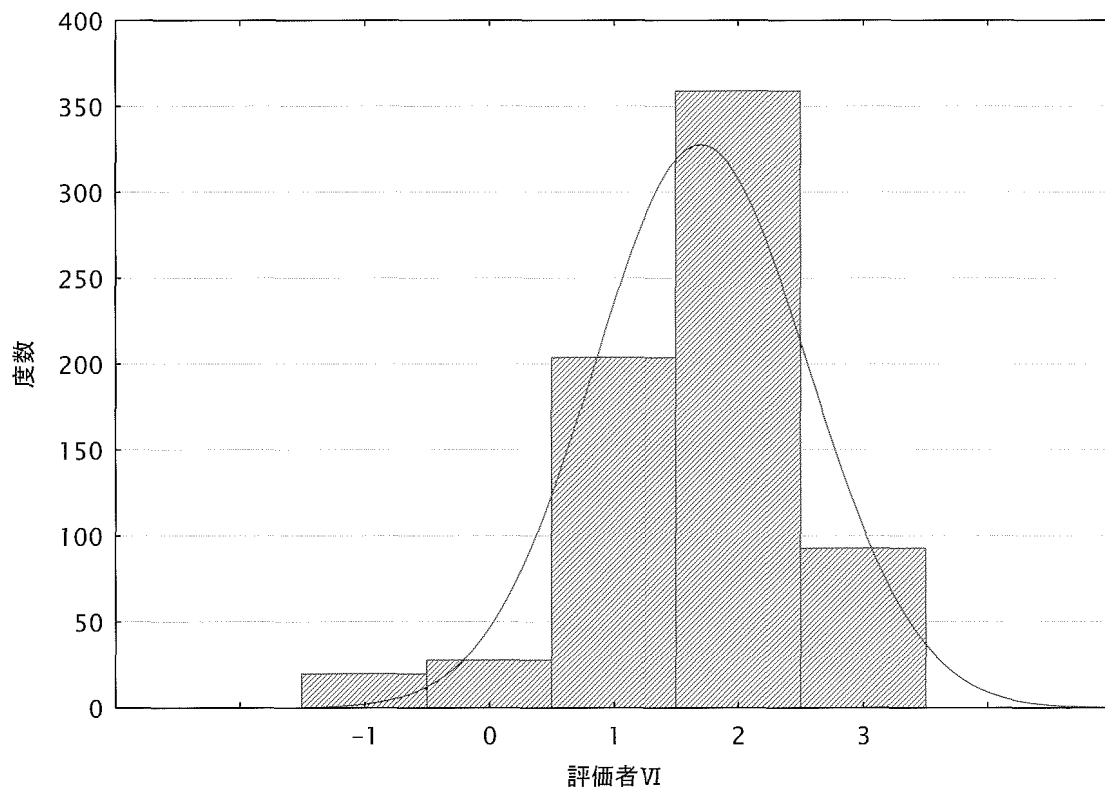


図8. 全部鑄造冠蟻形成と人工歯排列・歯肉形成の相関性

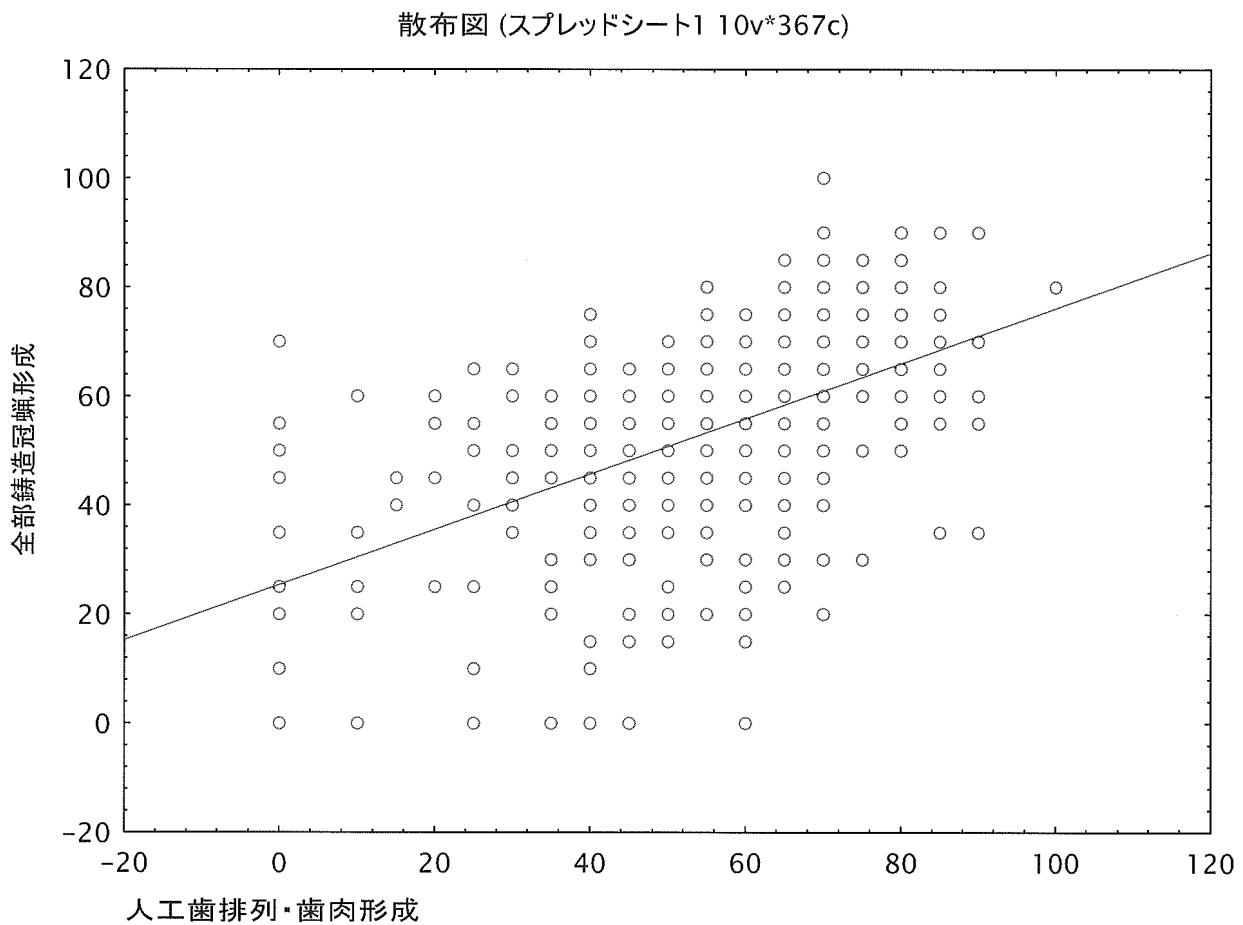


図9. 全鑄造冠蟻形成のズレとH16年度概略的評価の分散図

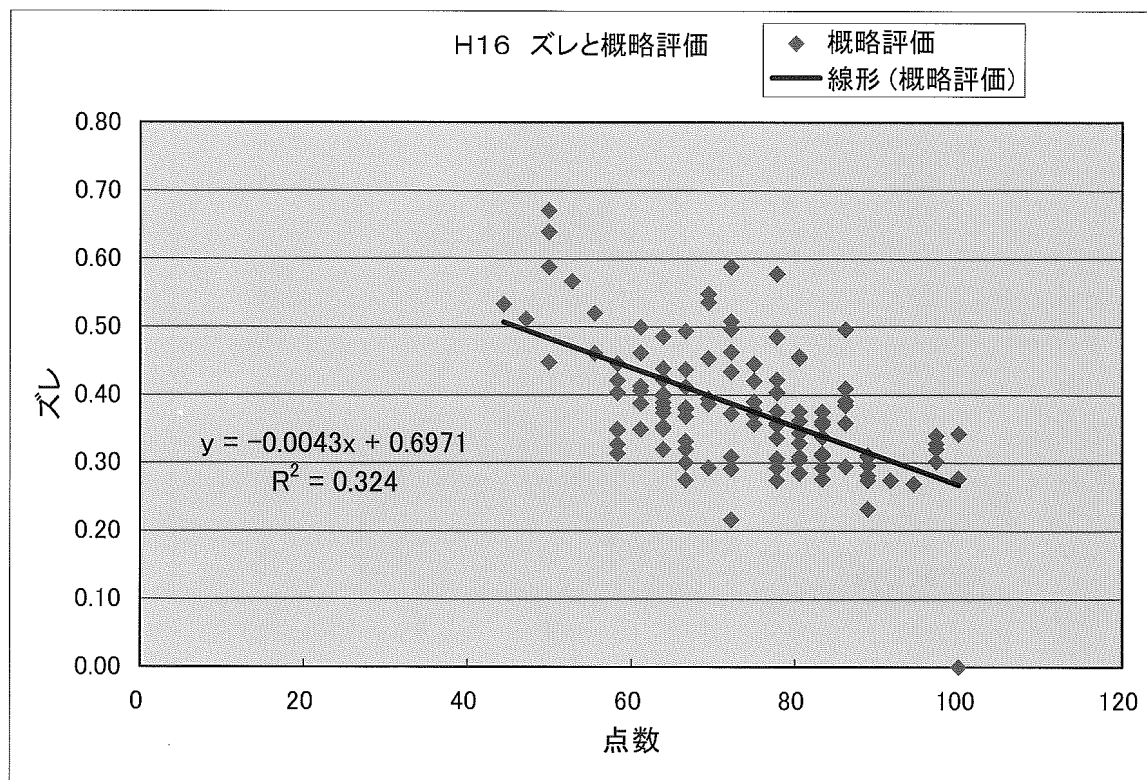


図10. 全铸造冠蟻形成のズレと予測値の分散図 (例外データ含む)

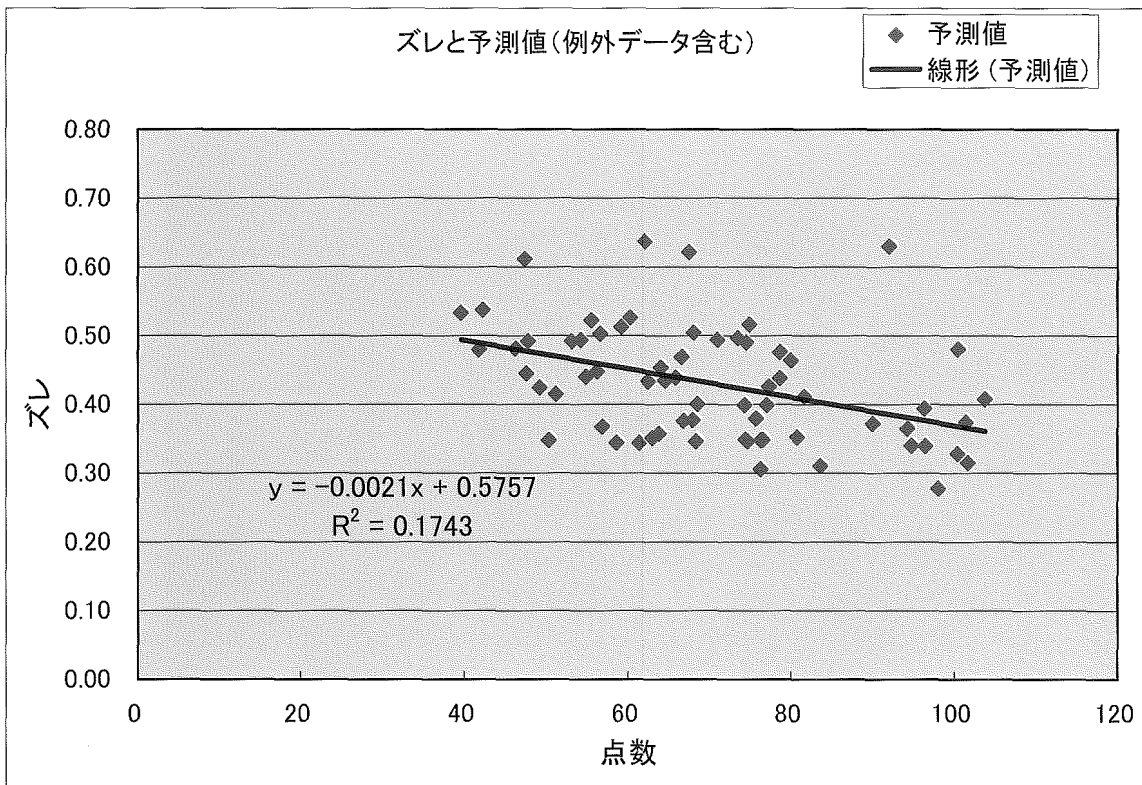


図11. 全铸造冠蟻形成のズレと予測値の分散図 (例外データ除く)

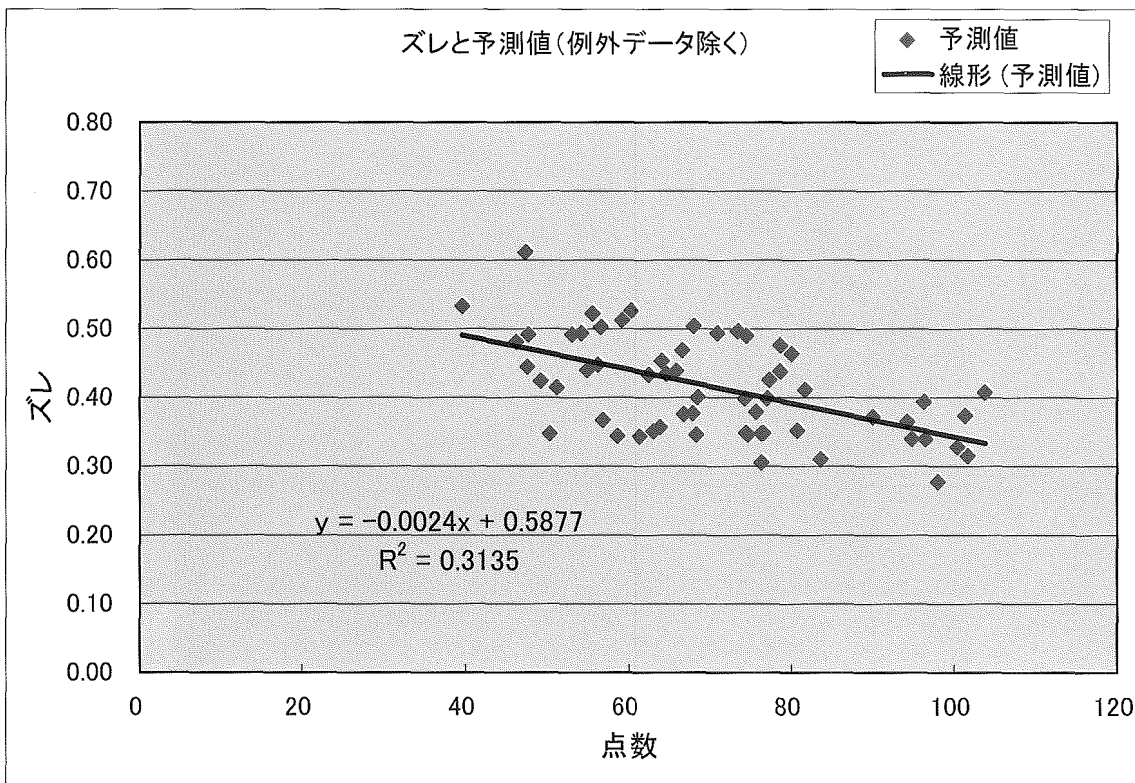


図12. 全鑄造冠蟻形成のズレと予測値およびH16年度概略的評価の散布図

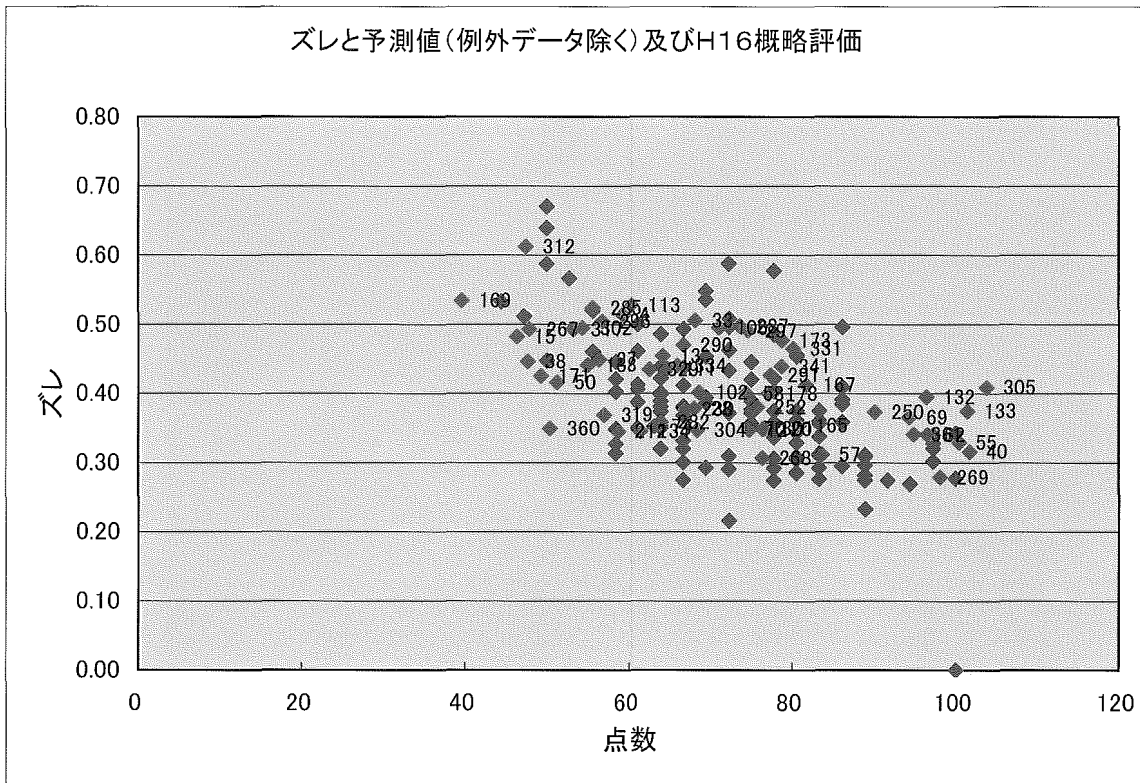


図13. 全鑄造冠蟻形成のズレと概略的評価（H16年度およびH17年度）の散布図

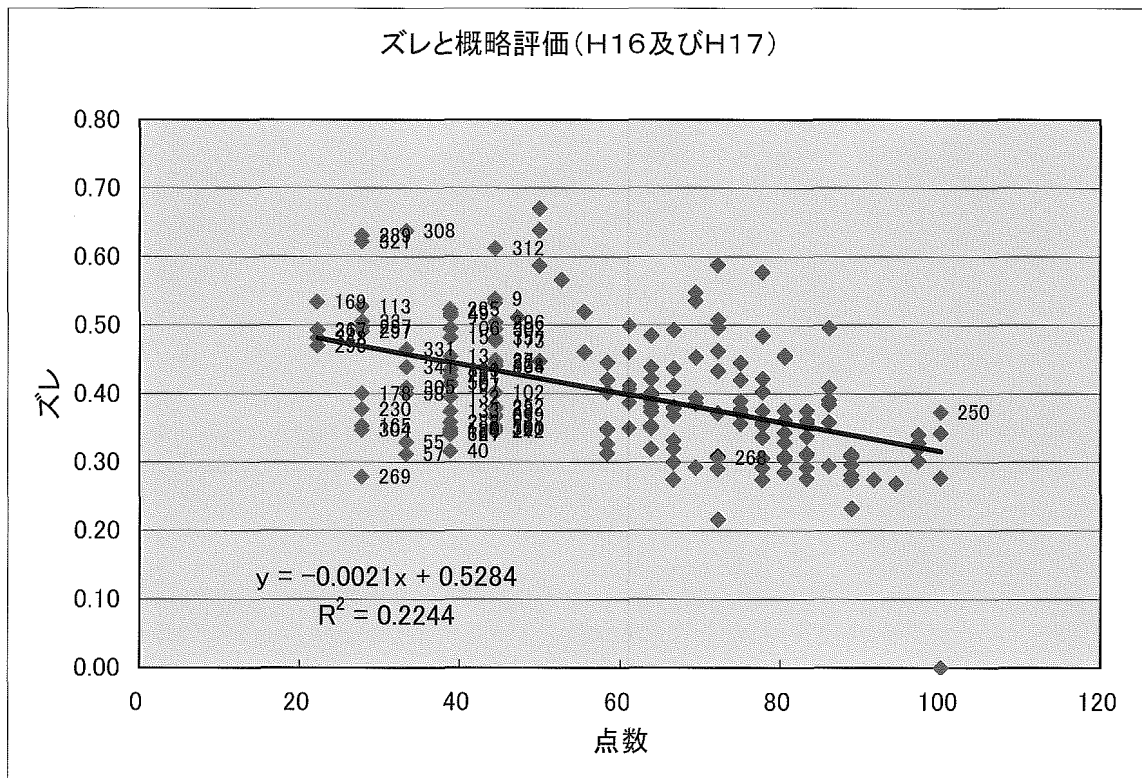
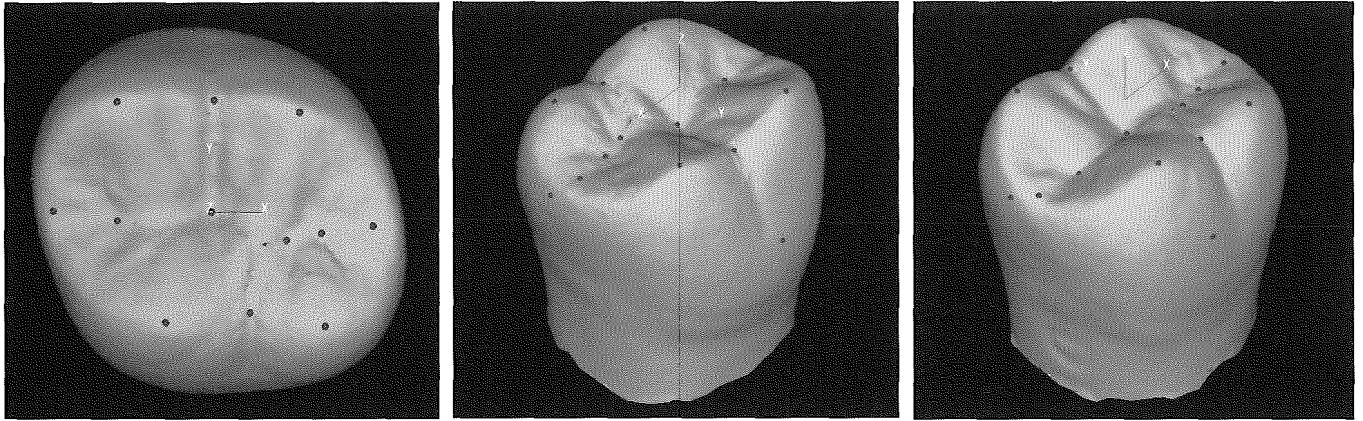
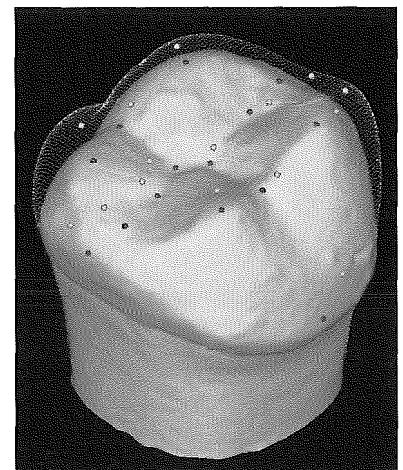
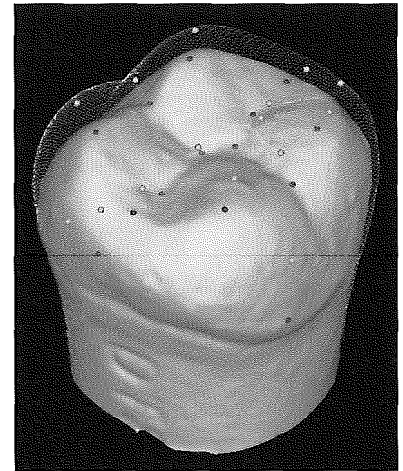
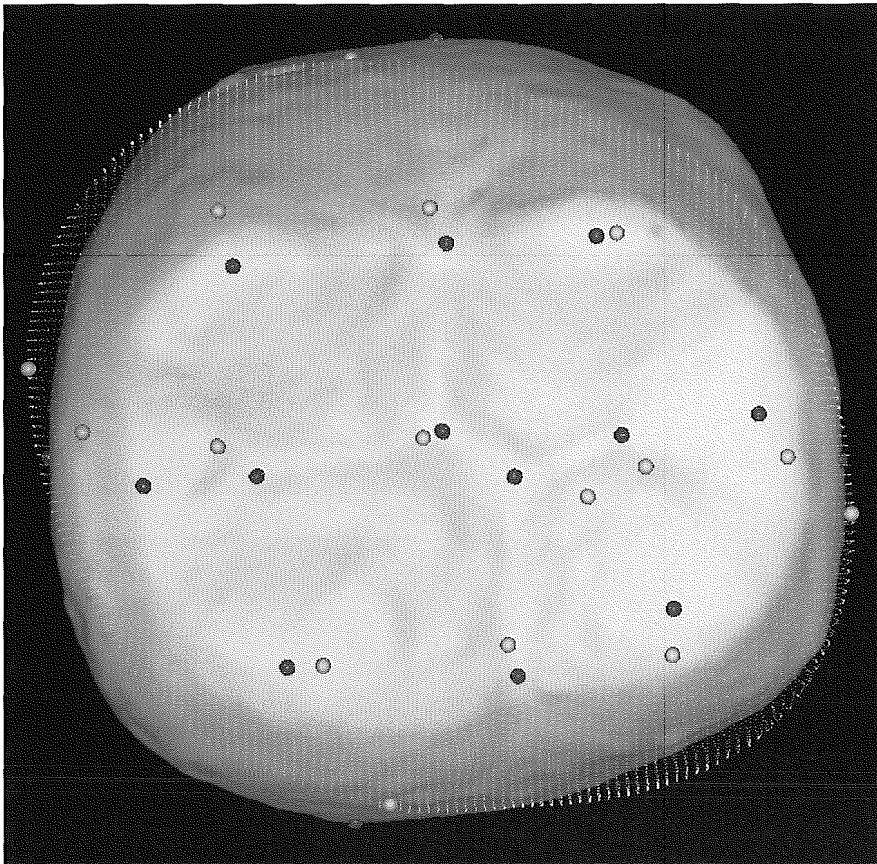


図14. コントロールモデルと学生形状の点数別重ねあわせ表示 (全部鑄造冠蟻形成)



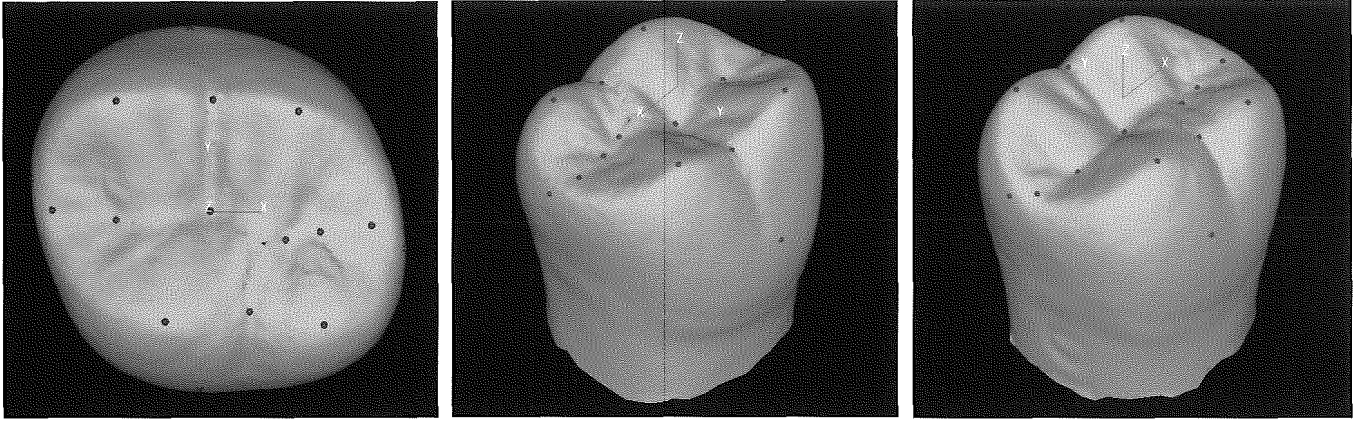
コントロールモデル (100点)

点数はニューラルネットワークで得られた予測値、点列 (薄青) 指定点 (青) はコントロール



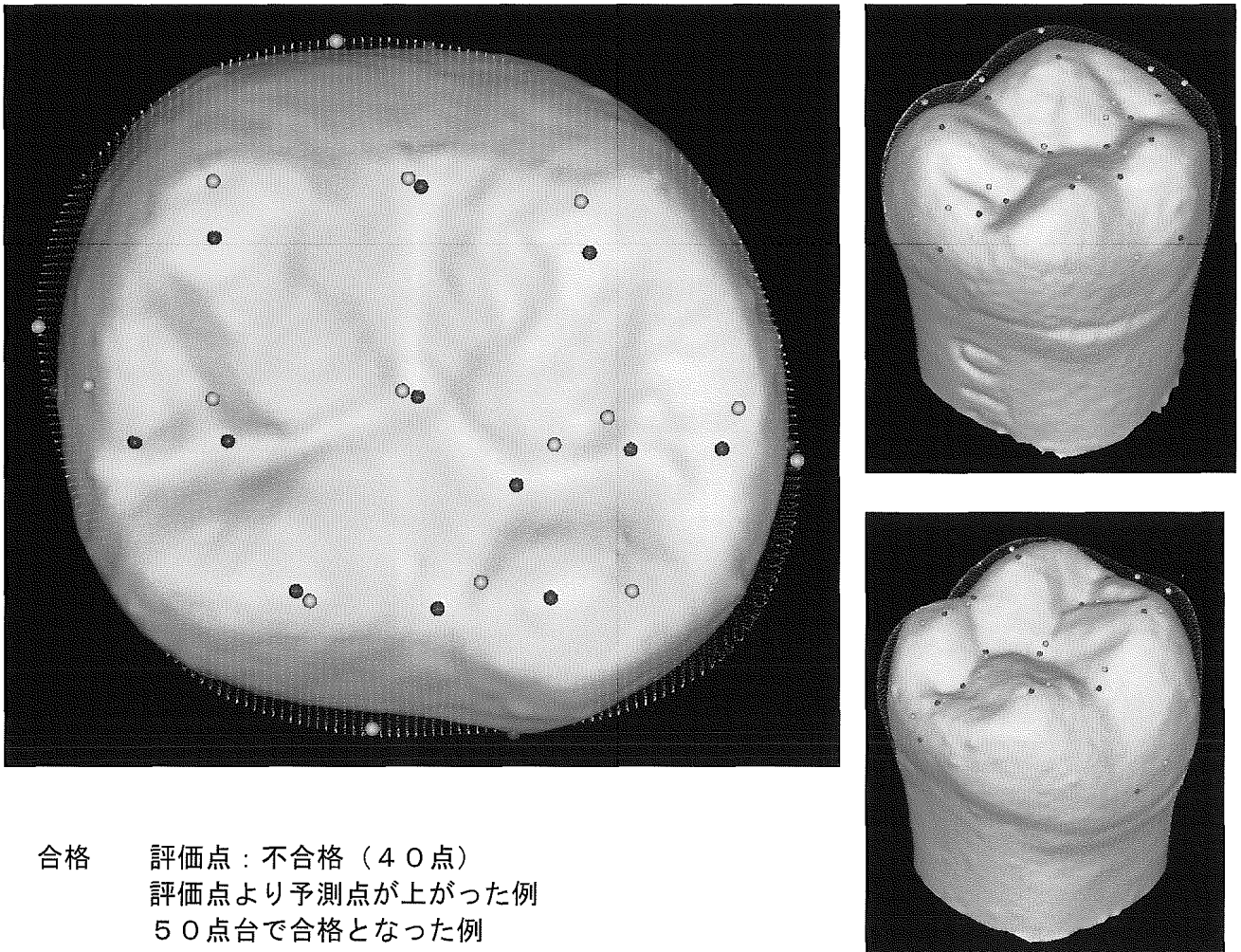
合格 評価点 : 不合格 (30点)
評価点より予測点が上がった例
50点台で合格となった例

受験者モデル (52.4点)



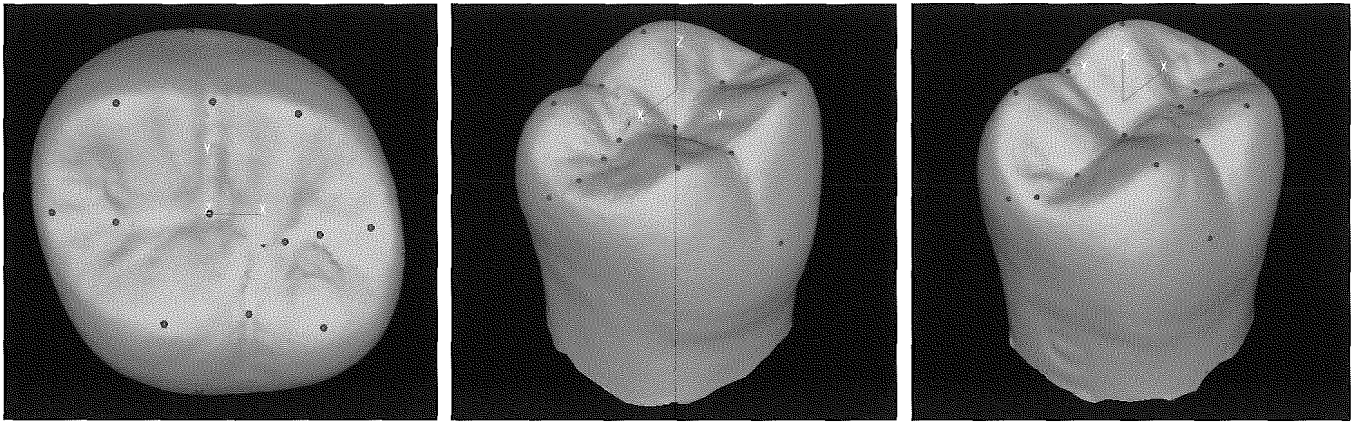
コントロールモデル（100点）

点数はニューラルネットワークで得られた予測値、点列（薄青）指定点（青）はコントロール



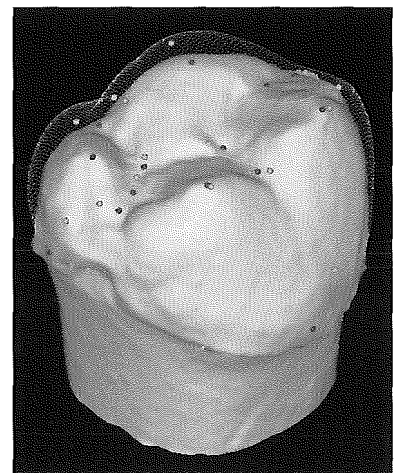
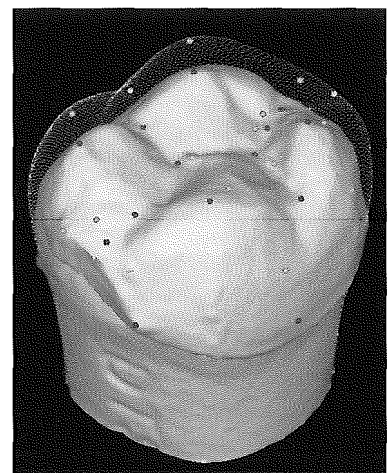
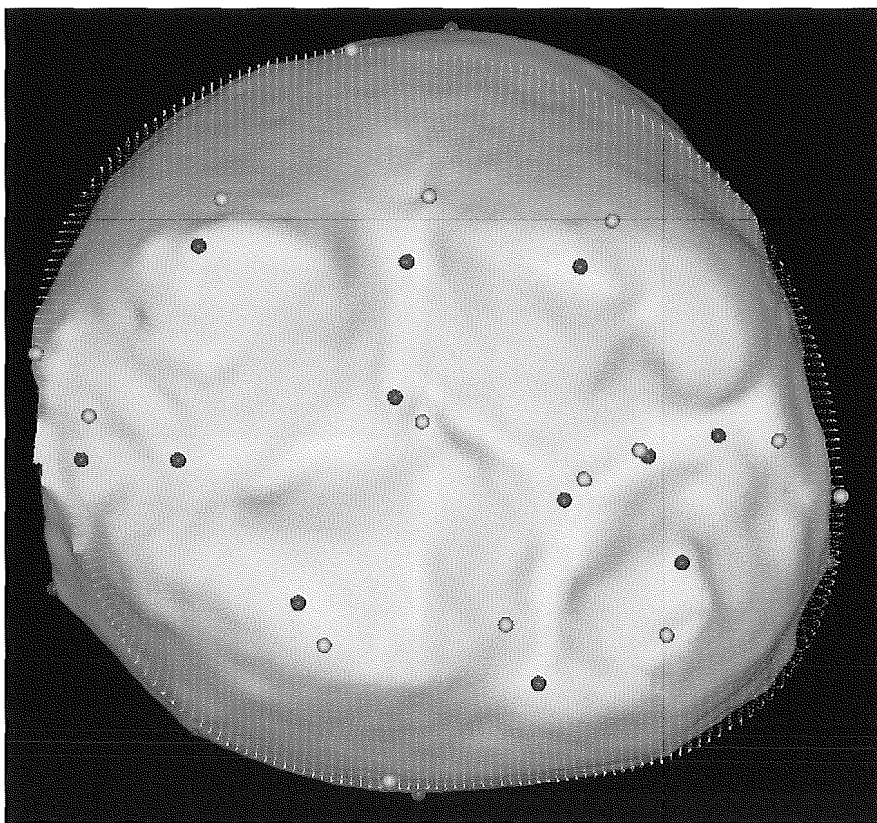
合格 評価点：不合格（40点）
 評価点より予測点が上がった例
 50点台で合格となった例

受験者モデル（56.5点）



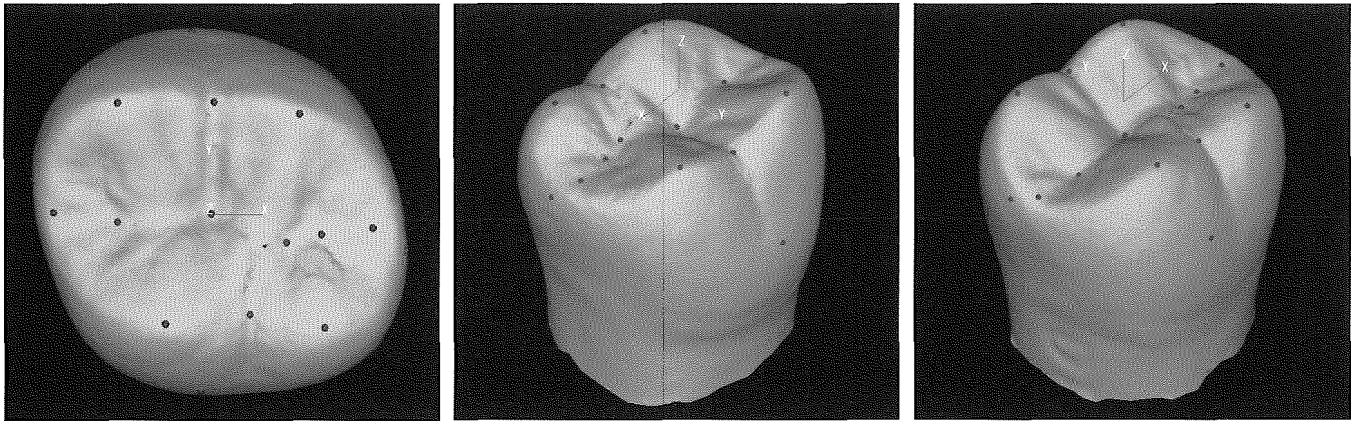
コントロールモデル（100点）

点数はニューラルネットワークで得られた予測値、点列（薄青）指定点（青）はコントロール



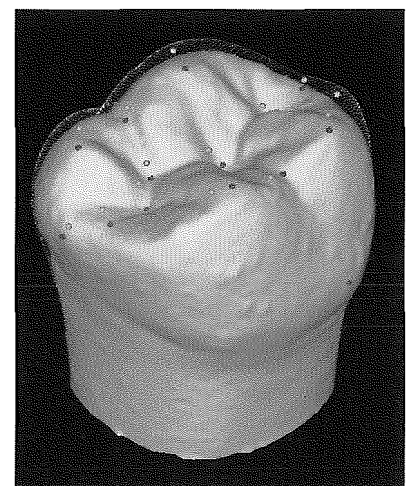
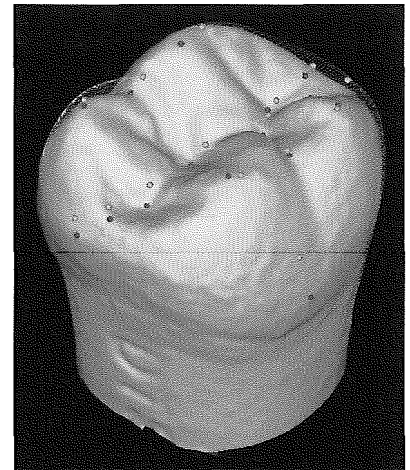
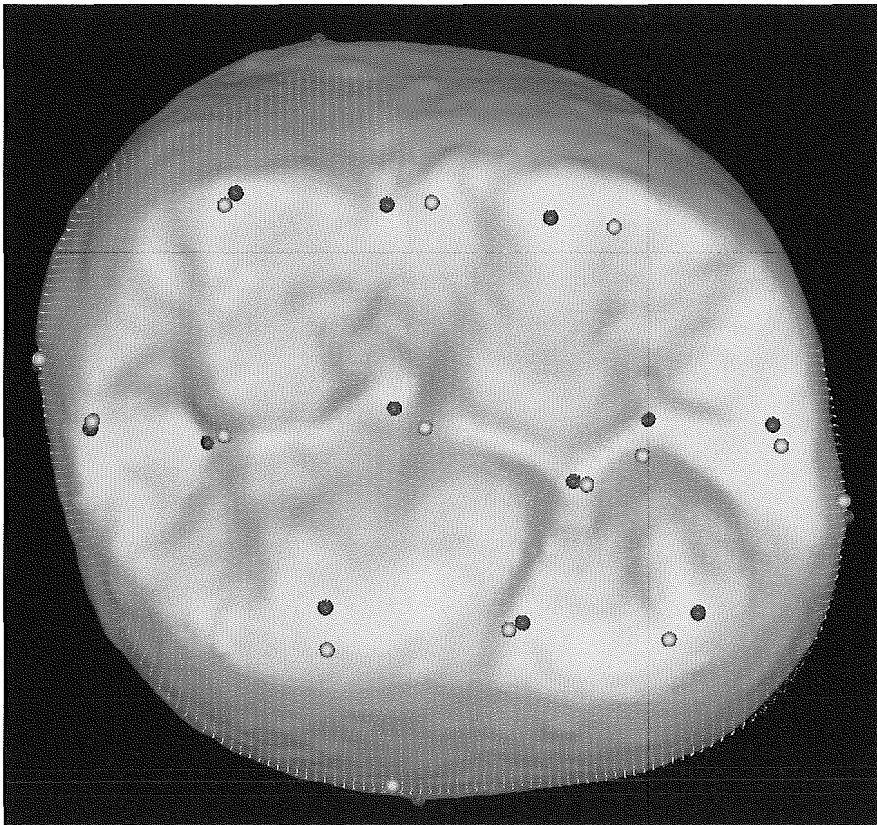
合格 評価点：不合格（30点）
 評価点より極端に予測点が上がった例

受験者モデル（74.3点）



コントロールモデル（100点）

点数はニューラルネットワークで得られた予測値、点列（薄青）指定点（青）はコントロール



合格 評価点：合格（100点）
評価点より予測点が下がった例

受験者モデル（69.8点）

図15. 人工歯排列のズレとH16年度概略的評価の分散図

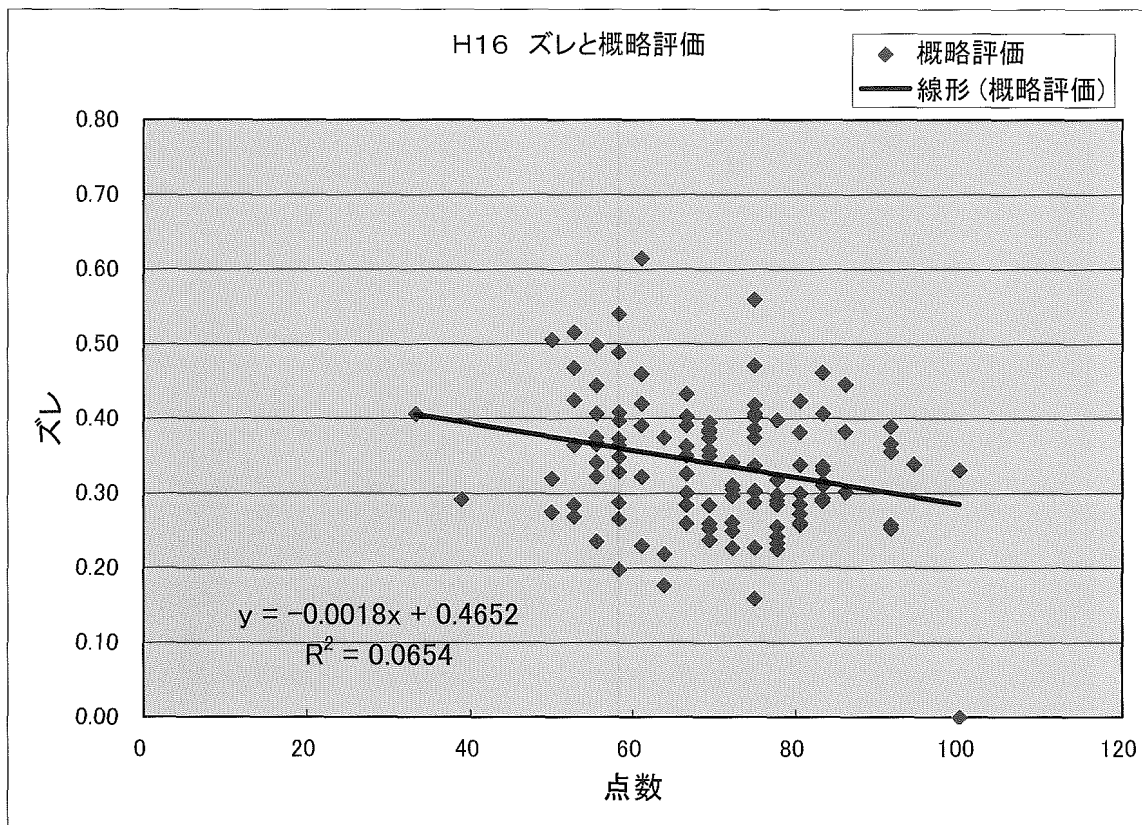


図16. 人工歯排列のズレと予測値の分散図 (例外データ含む)

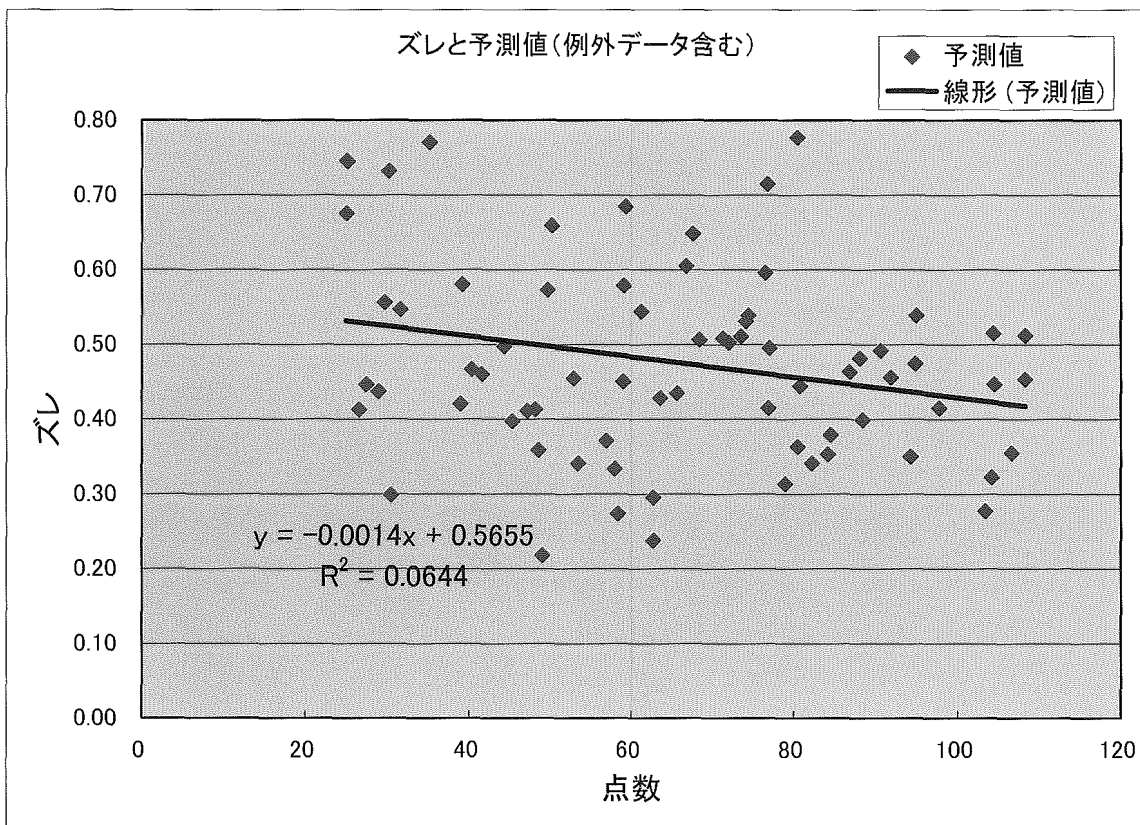


図17. 人工歯排列のズレと予測値の分散図（例外データ除く）

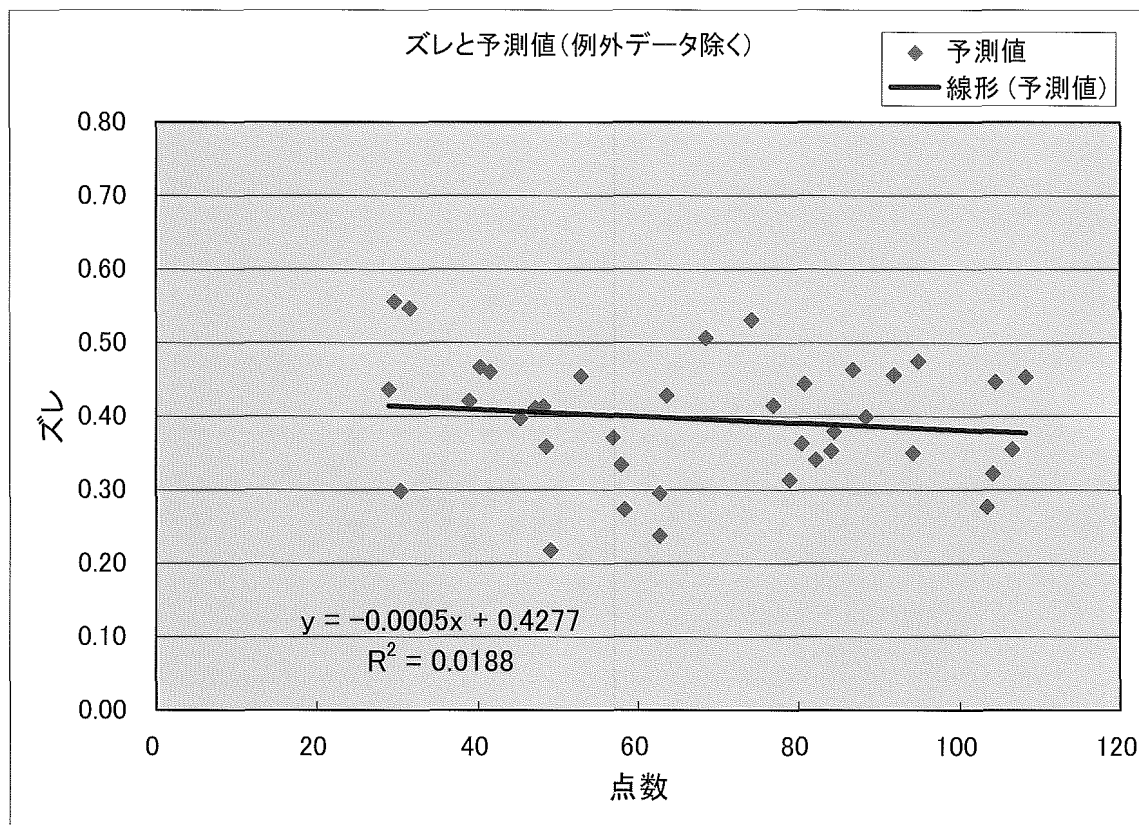


図18. 人工歯排列のズレと予測値（例外データ除く）およびH16年度概略的評価の散布図

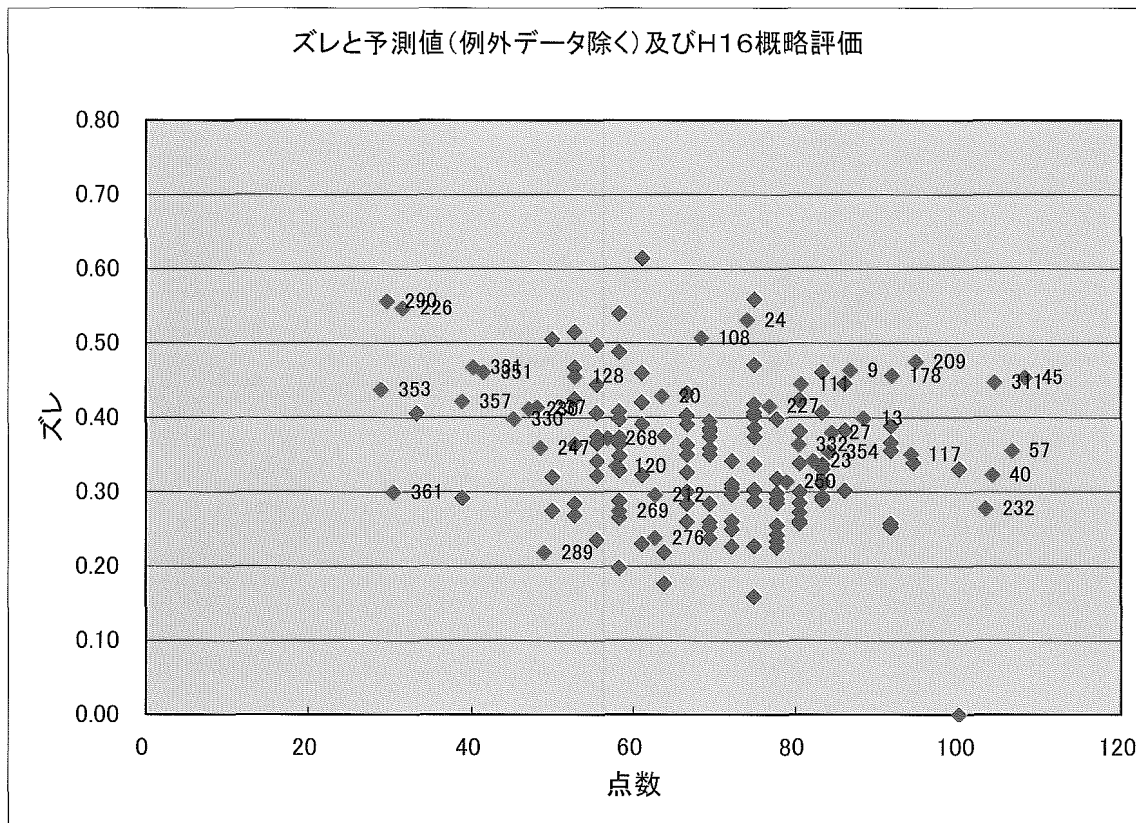


図19. 人工歯排列のズレと概略的評価（H16年度およびH17年度）の散布図

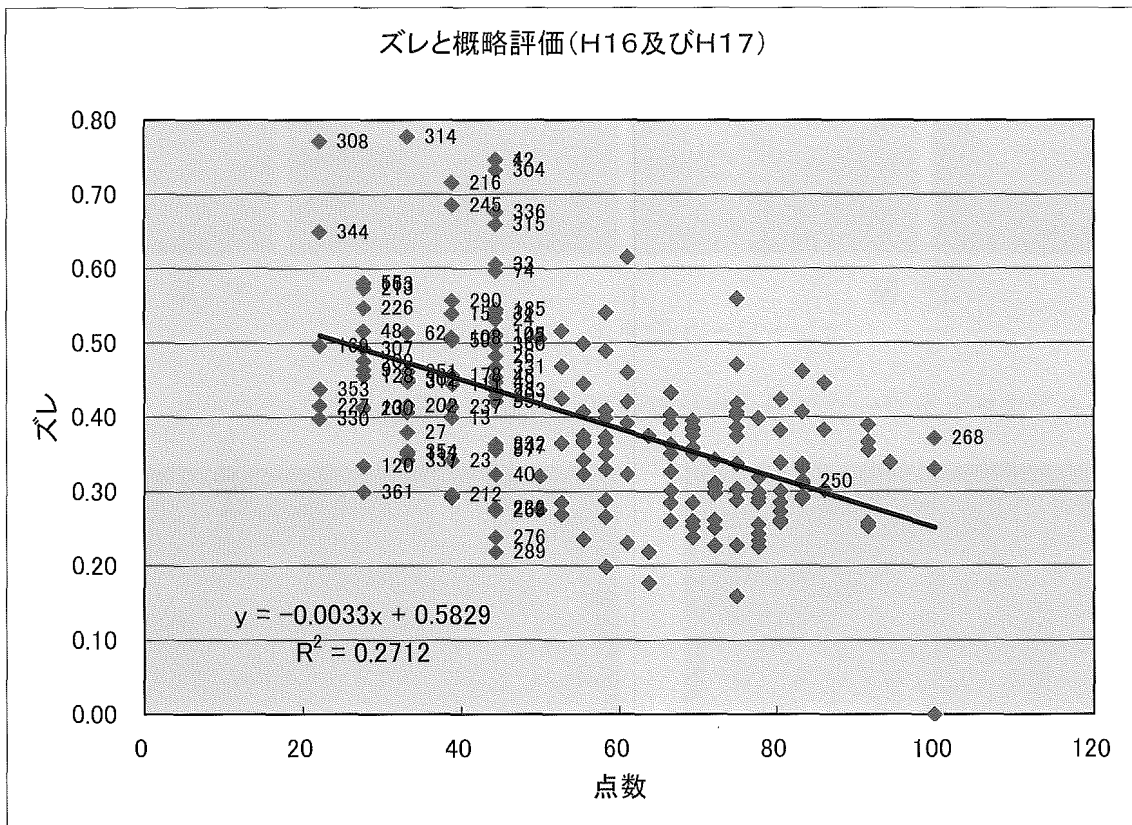
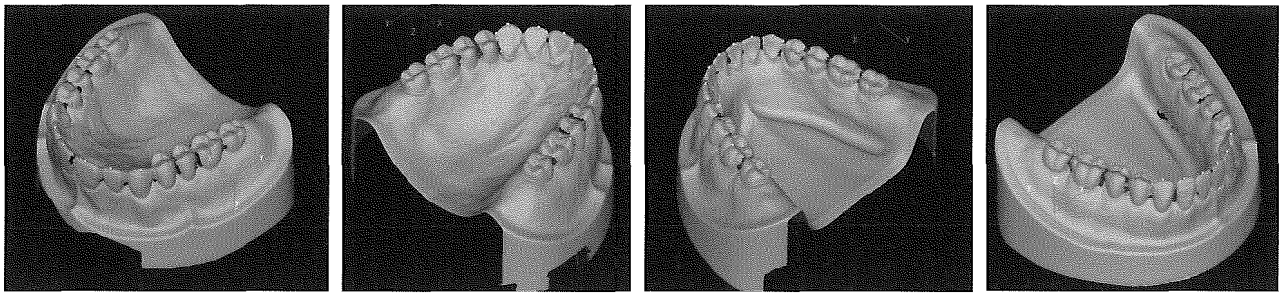


図20. コントロールモデルと学生形状の点数別重ねあわせ表示 (人工歯排列・歯肉形成)

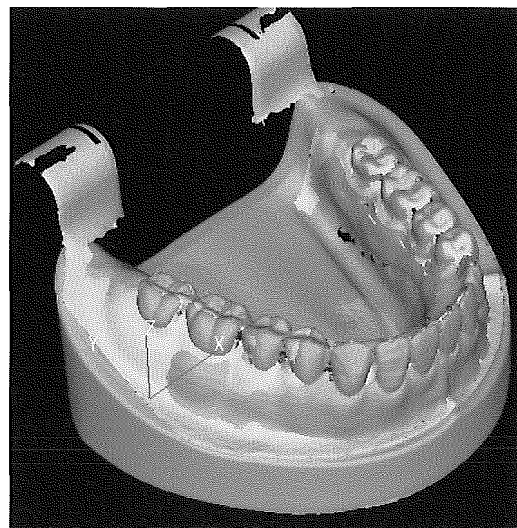
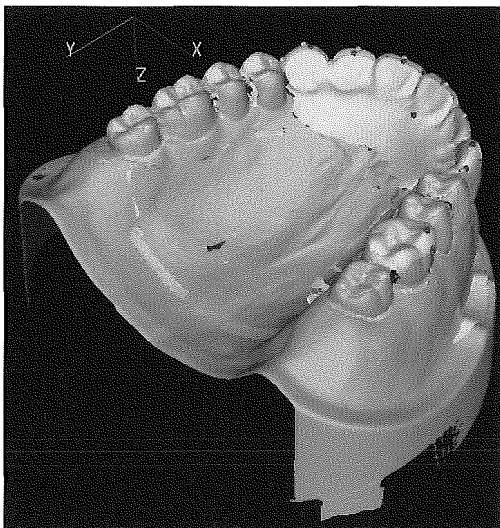
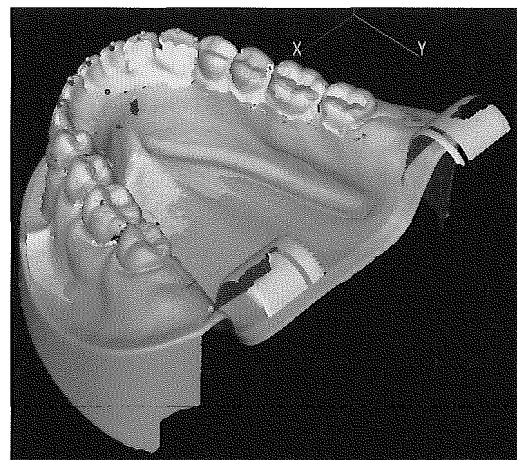
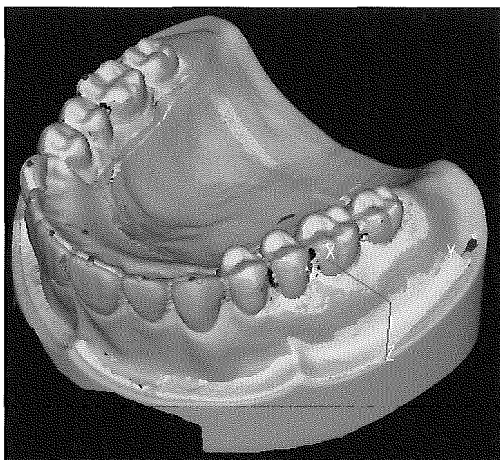


上 顎

下 顎

コントロールモデル (100点)

点数はニューラルネットワークで得られた予測値、指定点 (青) はコントロール

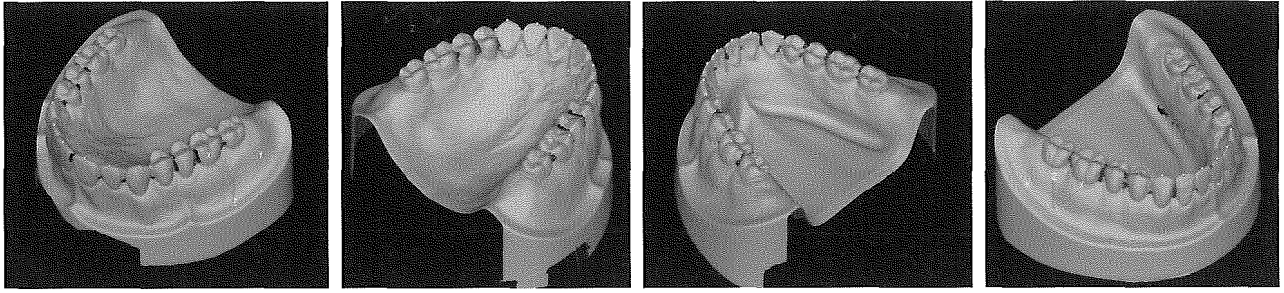


上 顎

下 顎

合格 評価点：不合格 (40点)
 評価点より予測点が上がった例
 50点台で合格となった例

受験者モデル (54.3点)

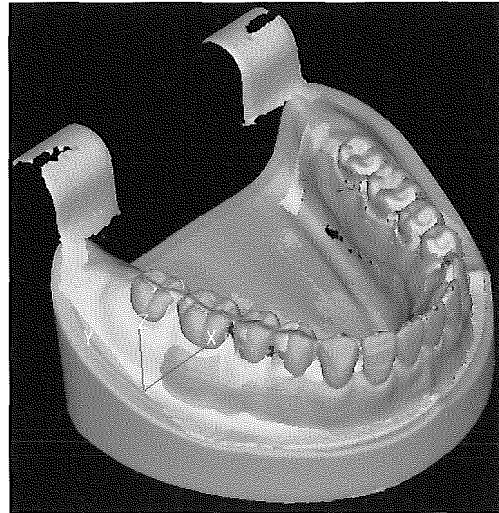
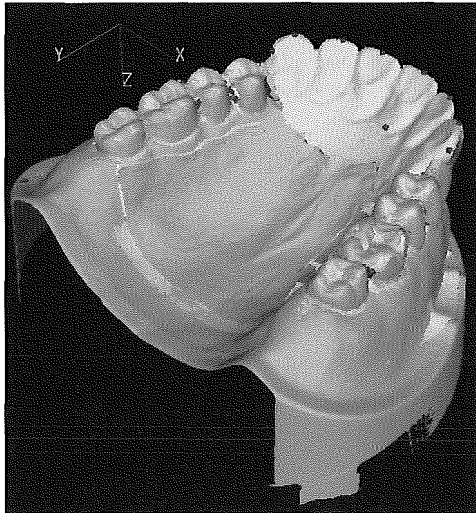
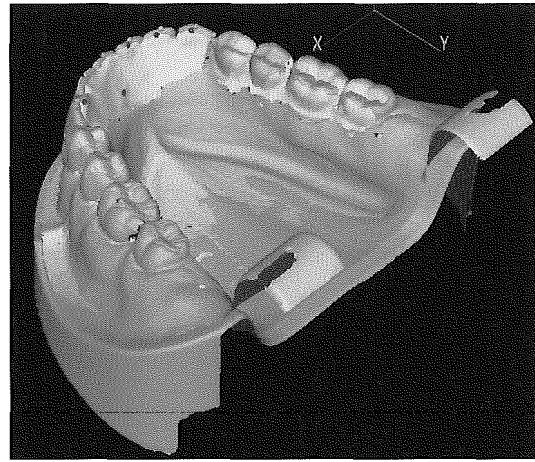
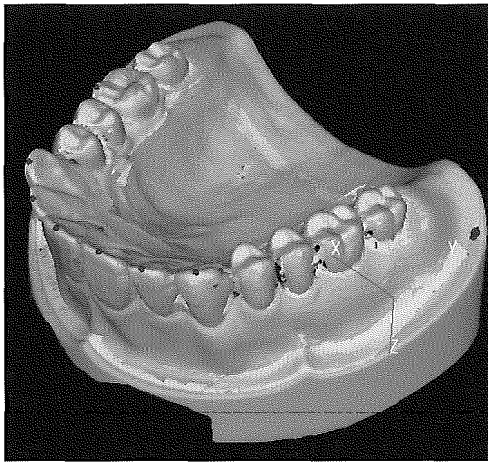


上 顎

下 顎

コントロールモデル (100点)

点数はニューラルネットワークで得られた予測値、指定点 (青) はコントロール

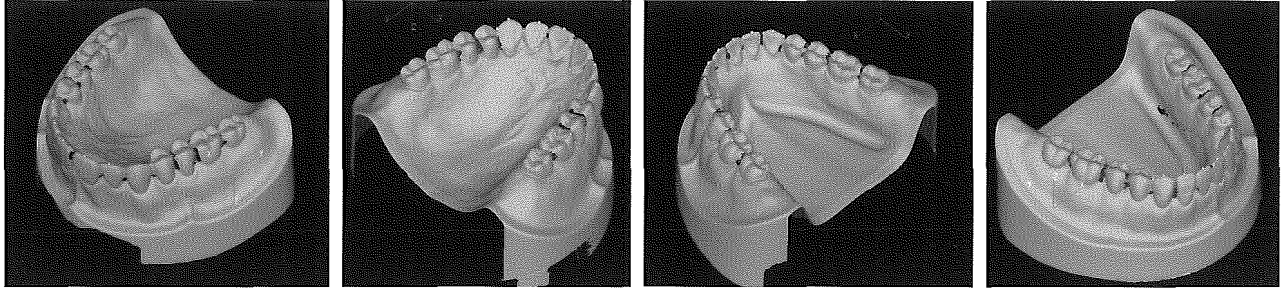


上 顎

下 顎

合格 評価点：不合格 (25点)
 評価点より予測点が上がった例
 評価点の最低点から合格となった例

受験者モデル (62.6点)

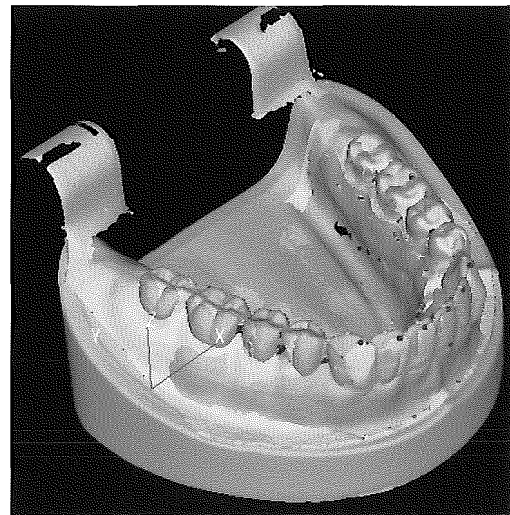
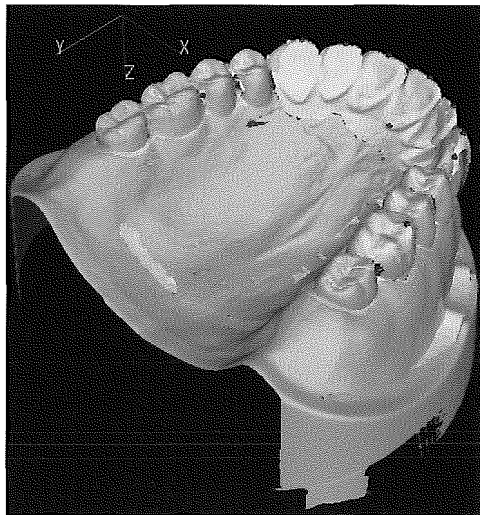
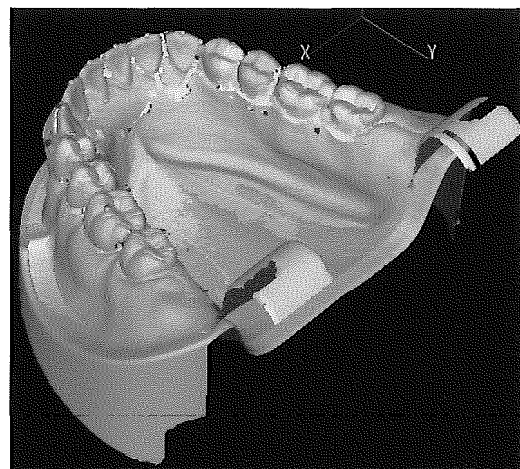
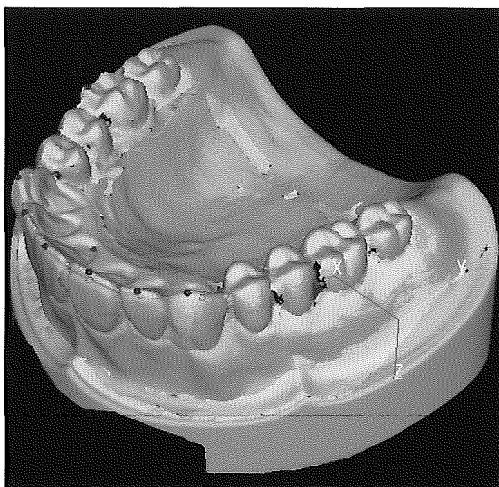


上 顎

下 顎

コントロールモデル (100点)

点数はニューラルネットワークで得られた予測値、指定点 (青) はコントロール



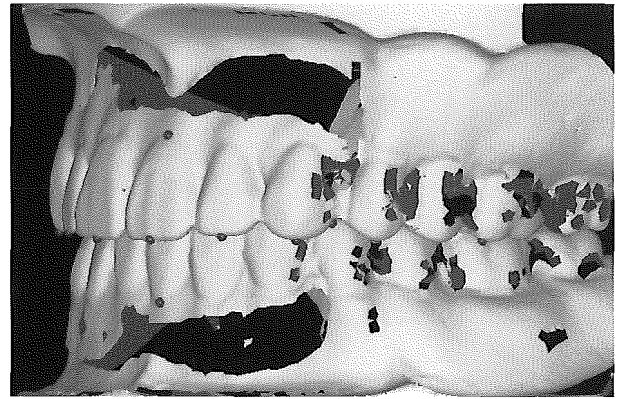
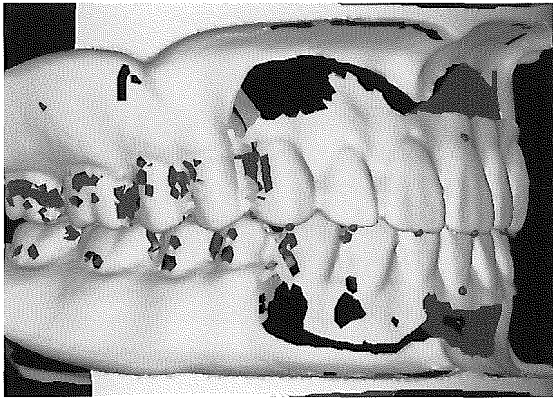
上 顎

下 顎

合格 評価点 : 不合格 (40点)
 評価点より極端に予測点が上がった例

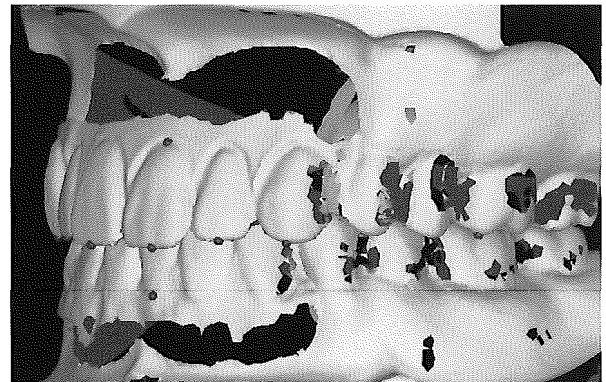
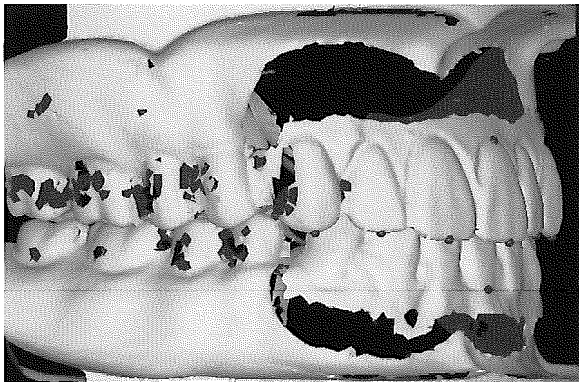
受験者モデル (80.6点)

図21. 上下顎咬合状態の点数別学生データ表示



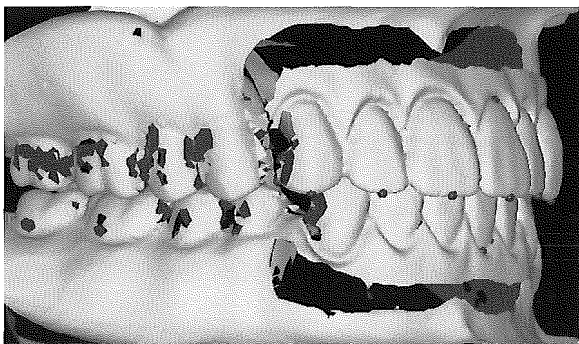
右側
受験者モデル 不合格 (25. 1点)

左側



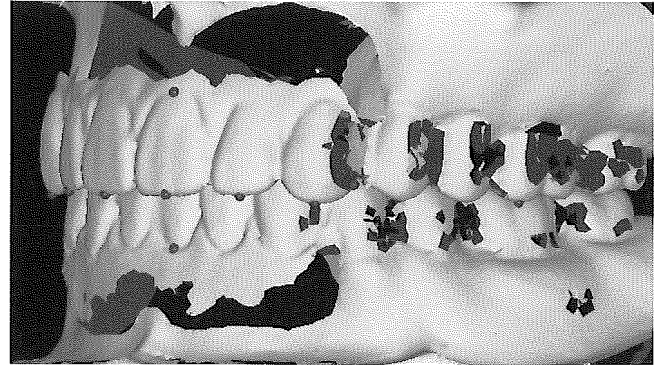
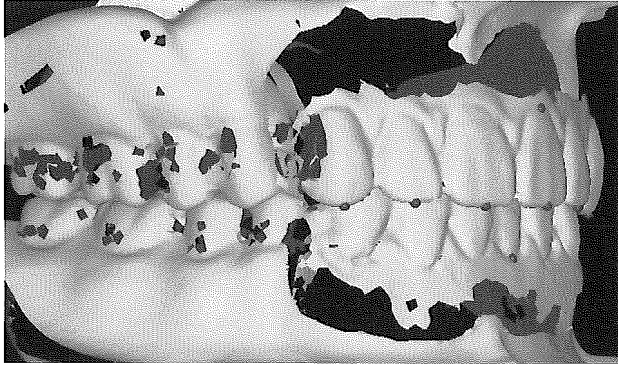
右側
受験者モデル 不合格 (30. 1点)

左側

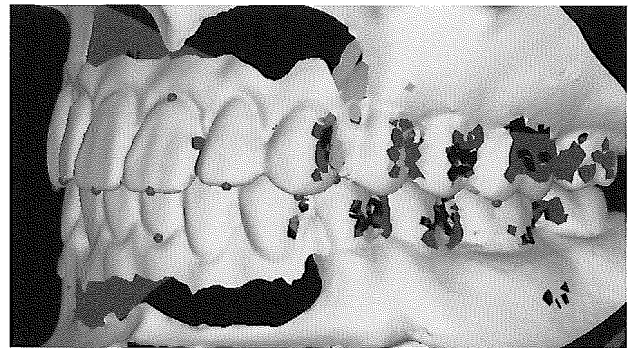
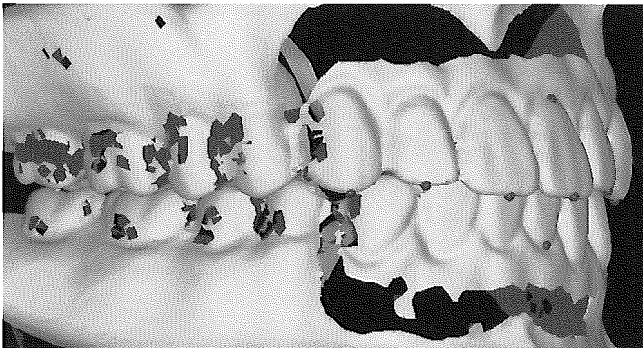


右側
受験者モデル 不合格 (36. 4点)

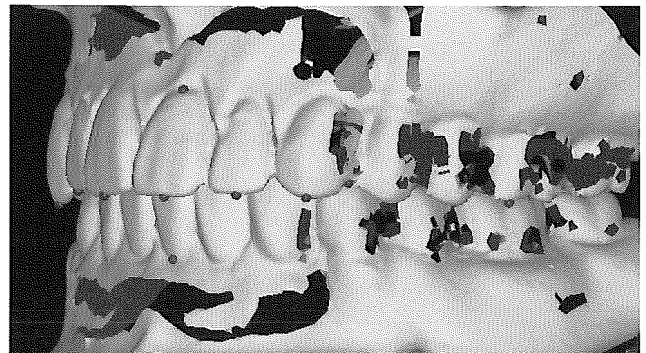
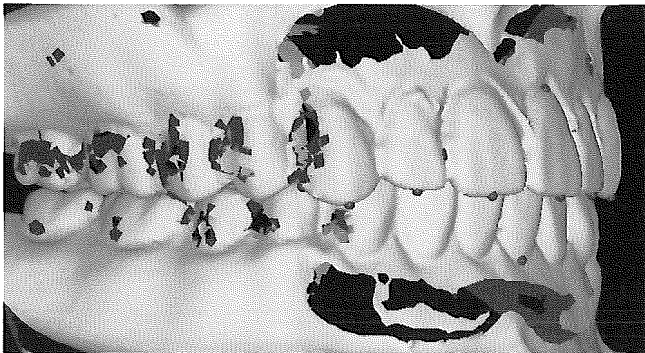
左側



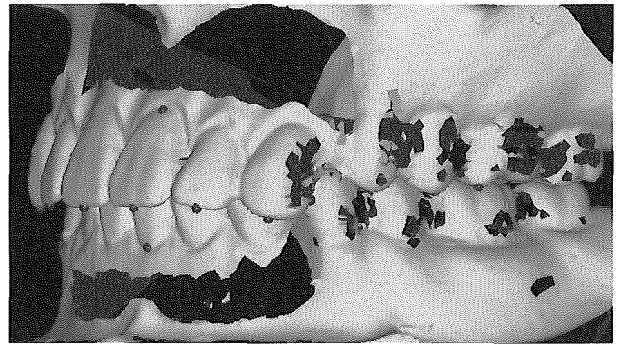
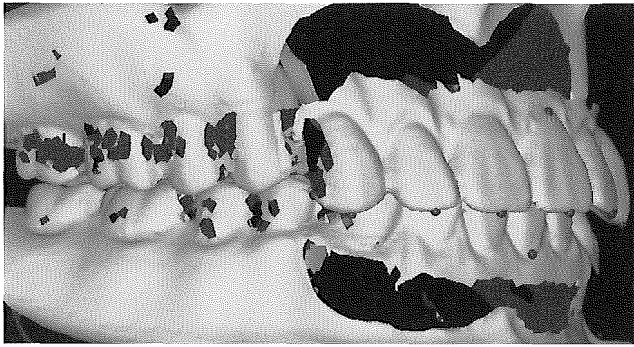
右側
受験者モデル 合格 (52.2点) 左側



右側
受験者モデル 合格 (54.3点) 左側



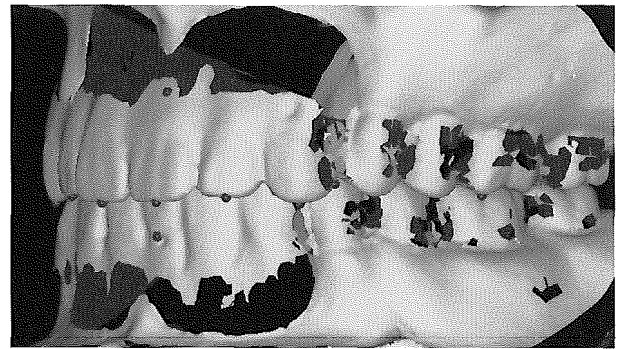
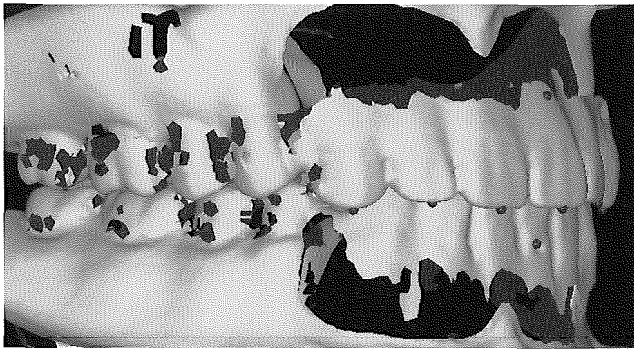
右側
受験者モデル 合格 (57.9点) 左側



右側

左側

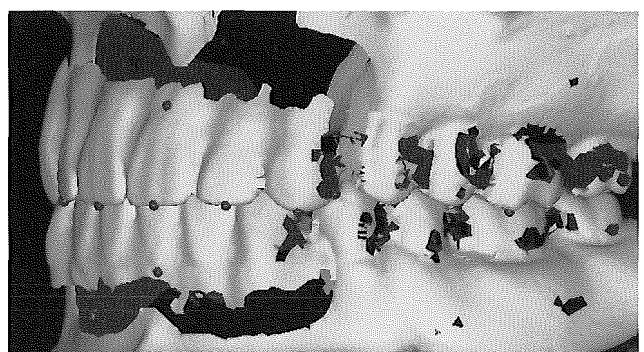
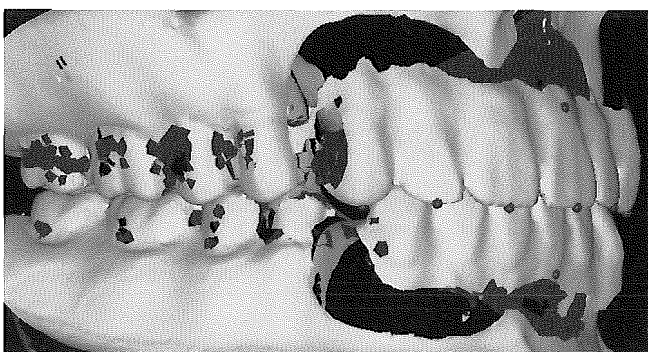
受験者モデル 合格 (62.6点)
評価点の最低点から合格となった例



右側

左側

受験者モデル 合格 (73.8点)
評価点の最低点から合格となった例



右側

左側

受験者モデル 合格 (80.6点)
評価点より極端に予測点が上がった例